

дались изменения фотометрических показателей цвета и дошилеровское смещение линий Ca ( $V = 380$  км/с), которые можно интерпретировать как следствие выброса вещества из звезды. При этом увеличение степени поляризации излучения D1 Сер может быть связано либо с ростом количества пыли в околосзвездной оболочке в результате активизации пылеобразования при более мощном звездном ветре, либо с несферичностью истечения вещества с поверхности звезды — конические биполярные струи (Долгилов и др., 1979).

Для подтверждения высказанных предположений наиболее интересными могут стать спектральные наблюдения вспышек в диапазоне 1–3 мкм для изучения профилей водородных линий и радионаблюдения звезды, поскольку для случая плотного звездного ветра следует ожидать уменьшения свободно-свободного излучения от объекта.

#### Литература.

- Василен, 1982. — Василен Р., Астр Suppl 42, 153.  
 Бергнер и др., 1985. — Бергнер Ю.К., Бондаренко С.Л., Мироновичко А.С., Моралев Ю.Д., Шумахер А.В., Юдин Р.В., Жданов В.В., АН Н 1370.  
 Бергнер и др., 1986. — Бергнер Ю.К., Мироновичко А.С., Юдин Р.В., Жданов В.В., Муканов А.Б., АН Н 1459.  
 Гришин и др., 1980. — Гришин В.П., Ефимов Ю.С., Краснобабцев В.И., Шаховская Н.В., Шаховская Н.М., Щербаков А.Г., Чайкович Г.В., Конотило Г.А., Шанин Г.И., Киселев Н.Н., Тоддлимен Ч.С., Гаргинов И.Р., ИВ 21, 247.  
 Долгилов и др., 1979. — Долгилов А.З., Гнедин Ю.Н., Сысоевъон Н.А., в ка., "Распространение и поляризация излучения в космической среде", Москва, "Наука".  
 Коэн и Шварц, 1976. — Коэн М., Schwarz R., MN 174, 137.  
 Котчиной и др., 1985. — Catepole R.M., Glass I.S., Joncas J.S., Whitelock R.A., SAAO Circ. № 9, 1.  
 Краснобабцев В.И., 1982, Изв. КРАО 65, 100.  
 Петров И.П., 1972, Изв. КРАО 46, 25.  
 Шульте-Ландбек, 1983. — Schulte-Landbeck R., Астр 120, 203.

The unusual increase of brightness of D1 Cep in JHK bands has been observed. This increase was accompanied by growth of the polarization in the RI bands. Possible causes of this phenomenon are discussed.

*Главная астрономическая обсерватория АН СССР,  
 Астрофизический институт АН Казахской ССР.*

#### Об одной вспышке D1 Цефей.

**Н.З. Исмаилов**

On one flare of D1 Cephei, by N.Z. Ismailov.

В течение одного сезона проведены фотоэлектрические и спектральные наблюдения звезды типа Т Тельца D1 Сер на 2-м и 60-см телескопах ШАО. Получено 27 индивидуальных оценок блеска в фильтрах U, B, V, R и всего 11 спектров звезды в диапазоне  $\lambda\lambda 700-5100\text{ \AA}$ .

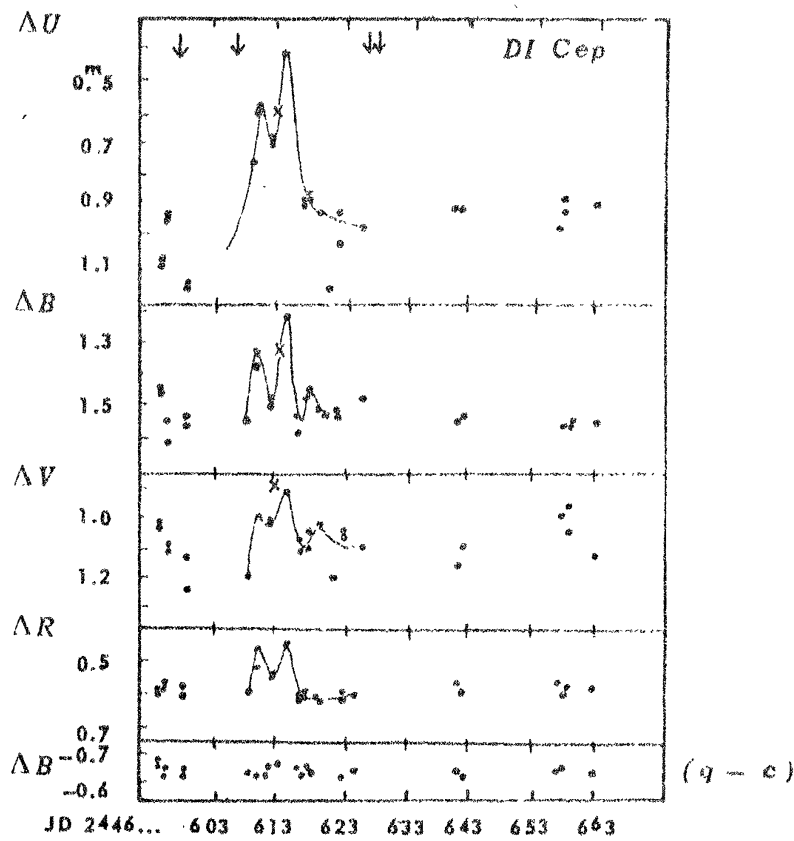


Рис. 1.

с дисперсией 93 Å/мм у  $H_{\gamma}$ . На рис. 1 приводится кривая блеска звезды. Стрелками сверху указаны даты, при которых получены спектры звезды. Фотоэлектрические измерения (таблица 1) показали, что при датах JD 2446610–619 у звезды произошла вспышка с максимальными амплитудами блеска 0<sup>m</sup>52, 0<sup>m</sup>34, 0<sup>m</sup>20 и 0<sup>m</sup>15 в фильтрах  $U$ ,  $B$ ,  $V$  и  $R$  соответственно. Наблюдения, обозначенные крестиком, любезно предоставлены нам Мирониченко А.

Вспышка продолжалась 9 дней и, по-видимому, имела два взлеска. К сожалению, при вспышке не удалось получить спектр звезды. В таблице 2 приводятся результаты спектральных наблюдений. Лучевые скорости усреднены по эмиссионным линиям  $H_{\beta}$ ,  $H_{\delta}$ ,  $H_{\epsilon}$ ,  $K\text{Ca II}$ . В спектрах, снятых при подъеме блеска и спустя 13 дней после вспышки, у эмиссионных линий  $H\alpha$  и  $K\text{Ca II}$  наблюдались отрицательные лучевые скорости  $-70 \pm 25$  км/с и  $-150 \pm 30$  км/с. В остальных спектрах лучевые скорости, в основном, положительны.

Послевспышечный спектр характерен тем, что в 2–3 раза увеличены эквивалентные ширины линий  $H\alpha$  и  $K\text{Ca II}$ , линии  $H_{\beta}$  и  $H_{\delta}$  имеют профили Р Сиг. В фиолетовой части наблюдаются линии  $Ti II$ ,  $Fe I$ ,  $H_{\epsilon}$ , которые не видны в других спектрах (рис. 2). Уверенно наблюдаются линии  $[S II] \lambda 4068 \text{ Å}$ ,  $He I \lambda 4026 \text{ Å}$ . Спектральный класс звезды по фотоэлектрическим данным при вспышке соответствует G9, а при

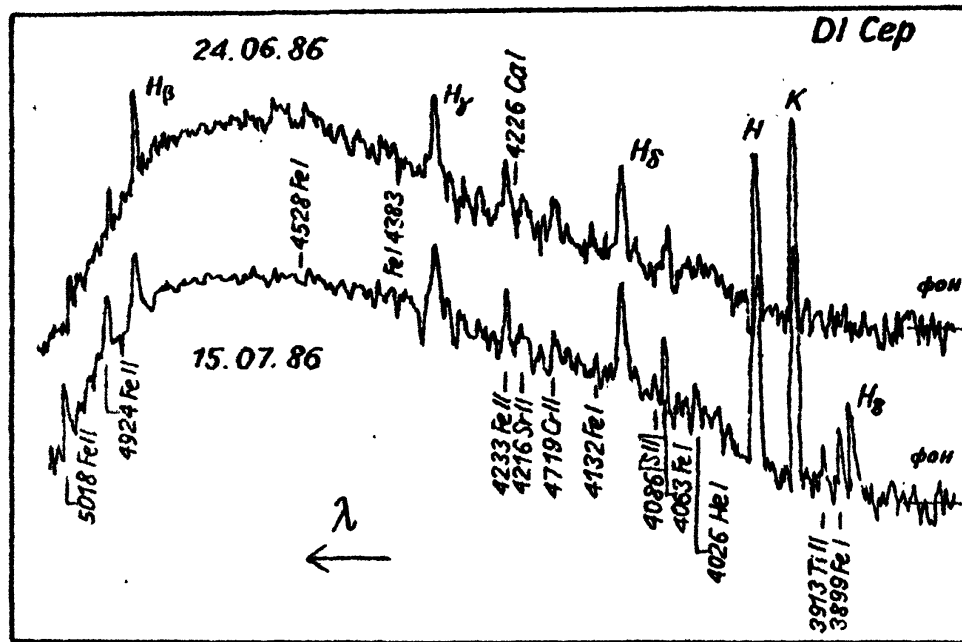


Рис. 2.

спокойном состоянии КЗ. Так как изменение эмиссионных линий в данном диапазоне не может дать вклад в фильтре В больше, чем  $0.^m01$ , то такое различие, возможно, связано с изменением температуры в фотосфере звезды.

Анализ данных позволяет предполагать, что при вспышке имел место выброс вещества из звезды.

Таблица 1.

2446...	$\Delta U$	$\Delta B$	$\Delta V$	$\Delta R$	2446...	$\Delta U$	$\Delta B$	$\Delta V$	$\Delta R$
593.56	1.^m08	1.^m45	1.^m02	0.^m58	618.54	0.^m86	1.^m47	1.^m13	0.^m61
593.64	1.09	1.46	1.02	0.59	618.56	0.87	1.44	1.06	0.59
594.55	0.93	1.62	1.10	0.58	620.45	0.93	1.52	1.03	0.60
594.63	0.91	1.55	1.09	0.57	621.46	1.02	1.54	1.24	0.63
598.46	1.15	1.55	1.14	0.61	623.49	0.90	1.51	1.04	0.58
598.58	1.16	1.58	1.25	1.06	623.50	1.03	1.52	1.05	0.63
608.44	0.78	1.57	1.19	0.61	626.51	0.96	1.48	1.10	0.61
610.47	0.56	1.39	0.99	0.52	641.41	0.88	1.54	1.16	0.56
610.49	0.583	1.31	0.98	0.48	642.47	0.88	1.52	1.08	0.58
612.53	0.70	1.50	1.01	0.55	658.48	0.97	1.56	0.99	0.62
612.57	0.66	1.52	1.03	0.56	657.51	0.91	1.56	1.06	0.59
615.47	0.38	1.22	0.90	0.44	657.58	0.86	1.55	0.96	0.59
617.48	0.88	1.60	1.10	0.61	663.37	0.89	1.86	1.11	0.59
617.57	0.91	1.55	1.14	0.63	$\sigma \pm 0.^m028 \pm 0.^m017 \pm 0.^m017 \pm 0.^m015$				

Значения блеска D1 Cep приводятся относительно стандарта "С" ( $V=10.^m34$ ,  $B-V=+0.^m43$ ,  $U-B=+0.^m35$ ) (Россия, 1984).

Таблица 2.

JD	$H_\beta$	$H_\gamma$	$H_\delta$	$H_\epsilon + H_{CaII}$	K <sub>CaII</sub>	Fe II 4233	Fe I 4063	$H_\beta$	$\Sigma w_\lambda$	$V$
2446...										
597.55	28.1	6.5	1.8	11.2	17.1	0.87	0.62	-	66.3	51
606.64	14.1	5.9	2.2	9.9	25.5	0.63	0.44	-	58.7	-72
627.61	18.8	10.9	6.4	13.6	21.2	1.42	1.40	8.8	83.7	-150
628.44	23.7	4.4	3.3	8.1	14.7	-	-	8.7	62.9	82
673.45	13.5	3.6	2.3	6.4	8.9	1.31	-	-	38.1	61
673.52	18.2	6.9	1.0	2.2	8.9	-	-	-	37.3	77